

# 根据 $\gamma$ 辐射谱测定铀-钍混合矿石中钍的含量

刘 鵬 張慶文

## 一、引言

許多作者<sup>[1,2]</sup>指出,当未将矿石中某些铀和钍的子体产物先行过滤掉时,用辐射方法测定混合矿石中铀和钍的含量很简便。但在衰变系列内,由于同位素具有特殊的物理和化学特性,所以不平衡经常存在于系列内两个主要的铀组和镭组之间。在铀组内,同位素相互之间常是保持平衡的;而在镭组内除受强烈的地质、地球物理等因素破坏外,一般也常保持平衡。但是在铀组和镭组之间的不平衡则是经常存在的。如果平衡已被破坏,则根据不同的子体元素所放射出来的辐射相对量的测定,其分析精度就会相应受到不同程度的影响。

众所周知,在铀系铀组、镭组和钍系中的 $\gamma$ 辐射谱十分复杂,且各有其独自的特点。这样一来,用简单的 $\beta$ - $\gamma$ 综合法就不能精确地分析其中放射性元素的含量。近代闪烁计数器在物理探矿中的应用,为解决这一问题提供了可能性,因为它不仅能记录岩石中天然 $\gamma$ 辐射的总合,而且可以得到 $\gamma$ 辐射的一些能谱特性,保证了更为单值地解释观察结果。

根据铀系镭组中能量为350千电子伏和钍系中能量为238千电子伏两个能谱段的不同性,作为提出方法的物理基础,在忽略铀组的 $\gamma$ 射线影响的情况下,引用下列方程组求解钍的含量:

$$\begin{aligned} N_1 &= (b_1 \text{Ra} + c_1 \text{Th})P, \\ N_2 &= (b_2 \text{Ra} + c_2 \text{Th})P \end{aligned} \quad (1)$$

$$\text{Th} = \frac{b_2 N_1 - b_1 N_2}{(b_2 c_1 - c_2 b_1)P}, \quad (2)$$

式中 $N_1, N_2$ ——被测样品在两种不同能量鉴别阈下测得的 $\gamma$ 辐射强度(脉冲/分); $b_1, b_2, c_1, c_2$ ——分别为平衡铀源和钍源在两种不同能量鉴别阈下单位含量、单位重量的 $\gamma$ 辐射强度; $\text{Ra}$ ,  
 $\text{Th}$ ——分别为样品中镭(以平衡铀当量表示% U)和钍的含量(%); $P$ ——被测样品的重量(克)。

本实验的目的是,了解用“rac”仪器微分鉴别器,在氡和钍的子体产物 $\text{RaB}$ 和 $\text{ThB}$ 软 $\gamma$ 射线范围内,测定铀-钍混合矿石中钍含量所能达到的精度、灵敏度,以及了解影响分析精度的因素。

## 二、实验方法

**1. 实验仪器** 所用仪器为单道能谱仪“rac”。 $\gamma$ 射线接受器是由ΦΘΥ-19M型光电倍增管和高50毫米、直径44毫米的NaI(Tl)晶体组成的闪烁计数器。标准源:平衡铀( $U = 0.100\%$ ,  
 $\text{Ra} = 0.110\% \text{U}$ );纯铀( $\text{U}_3\text{O}_8, U = 0.300\%$ );钍源( $\text{Th} = 0.200\%, U = 0.009\%$ )。标准源的粒度均为80筛孔。盛样品用的是一铝制圆形杯(图1)。

**2. 样品** 被测样品围于晶体四周,厚15毫米。

**3. 仪器选用的工作条件** 为了按振幅选择讯号,用仪器的微分鉴别器进行工作。取道宽 $\Delta = 2$ ;放大系数 $y = 300$ ;光电倍增管的工作电压 $V_H = 1100$ 伏(对不同光电倍增管, $V_H$ 值可能不同)。电源经功率为1000瓦的稳压器稳定后供仪器使用。

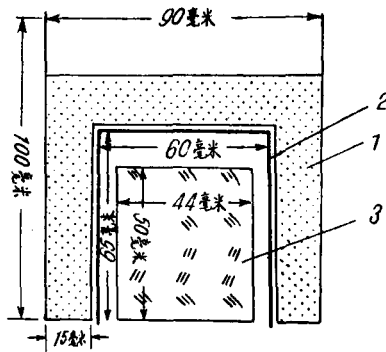


图1 样品杯剖面图  
1—样品,其厚层为15毫米; 2—防光套; 3—晶体。

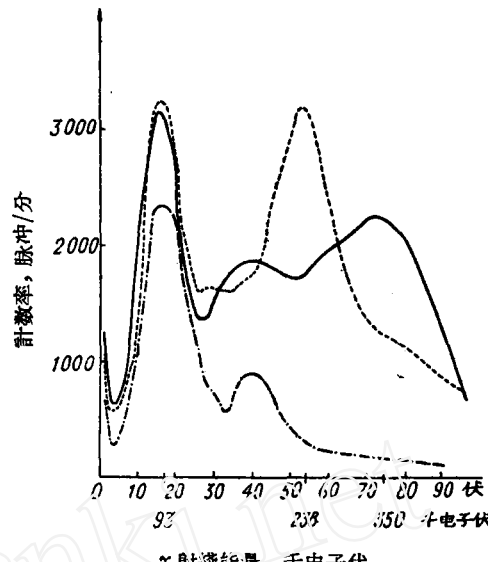


图2 铀镭和钍的 $\gamma$ 射线能谱图  
1— $U_3O_8 = 0.300\%$ ; 2— $Ra = 0.110\% U$ ;  
3— $Th = 0.200\%$ .  $V_H = 1100$  伏;  $\Delta = 2$ ;  
 $y = 300$ .

**4. 能谱曲线的选择** 在各种条件(改变 $V_H$ 、 $\Delta$ 和 $y$ )下,对平衡铀源和钍源进行能谱曲线的测量,共测了150条谱线和谱段,最后选定上述工作条件用于生产。在这种工作条件下,对平衡铀源、钍源和纯铀源的多次测量,均获得如图2所示之能谱曲线。其标准源的重量均为250克。

对获得的谱线(图2)进行分析,可以得出下面结论:

- (1) 在鉴别阈为18伏时出现的谱峰,是由 $UX_1$ 的能量为93—100千电子伏的 $\gamma$ 射线所引起。
- (2) 在鉴别阈为54伏时出现的尖峰,是由能量为238千电子伏 $ThB$ 的 $\gamma$ 射线引起的。
- (3) 在鉴别阈为74伏时出现的宽峰是由能量为320—350千电子伏 $RaB$ 的 $\gamma$ 射线所引起。上述所获得的结论与文献[3]获得的结论相吻合。

**5. 系数测量** 在已选定的工作条件下,对平衡铀和钍源的测定获得以下系数值:

$$b_1 = \frac{N_{1U-Ra}}{Q_{U-Ra}P} = \frac{1850}{0.110\% \times 250} = 6727;$$

$$b_2 = \frac{N_{2U-Ra}}{Q_{U-Ra}P} = \frac{2250}{0.110\% \times 250} = 8200;$$

$$c_1 = \frac{N_{1Th}}{Q_{Th}P} = \frac{3250}{0.200\% \times 250} = 6500;$$

$$c_2 = \frac{N_{2Th}}{Q_{Th}P} = \frac{1200}{0.200\% \times 250} = 2400.$$

区分系数:

$$\frac{\frac{c_1}{c_2}}{\frac{b_1}{b_2}} = \frac{\frac{6500}{2400}}{\frac{6727}{8200}} \simeq 3.3$$

### 三、精度、灵敏度的实验

1. 本方法对所配制的铀-钍比例不同的矿石样品的分析结果与化学分析结果列入表1。

表 1

序号	1	2	3	4	5	6	7	8	9	10
γ法(% Th)	0.009	0.005	0.015	0.017	0.018	0.047	0.050	0.096	0.075	0.078
化学法(% Th)	0.007	0.005	0.014	0.017	0.014	0.050	0.047	0.086	0.074	0.073
已知结果( $\frac{\text{Th}}{\text{U}}$ )	0.009/ 0.000	0.005/ 0.015	0.015/ 0.017	0.015/ 0.022	0.015/ 0.078	0.050/ 0.101	0.050/ 0.254	0.100/ 0.011	0.079/ 0.019	0.079/ 0.041
比 值	—	0.33	0.88	0.68	0.19	0.50	0.20	9.11	4.15	1.92

根据所获得的分析结果，在上述铀-钍比例的情况下，γ法的分析结果与化学分析结果或与已知结果之间的比较，其分析精度是令人满意的。

2. 对  $0.050/0.254 \left( \frac{\text{Th}}{\text{U}} \right)$  样品进行了 20 次统计测量，结果(Th%)列入表2。

表 2

序号	1	2	3	4	5	6	7	8	9	10
γ法结果	0.051	0.044	0.051	0.058	0.052	0.043	0.046	0.063	0.065	0.056
$(\bar{x} - x_i) \times 10^6 \%$	-1	+6	-1	-8	-2	+7	+4	-13	-15	-6
$(\bar{x} - x_i)^2 \times 10^6 \%$	1	36	1	64	4	49	16	169	225	36
序号	11	12	13	14	15	16	17	18	19	20
γ法结果	0.048	0.049	0.045	0.039	0.049	0.049	0.044	0.048	0.059	0.042
$(\bar{x} - x_i) \times 10^6 \%$	+2	+1	+5	+11	+1	+1	+6	+2	-9	+8
$(\bar{x} - x_i)^2 \times 10^6 \%$	4	1	25	121	1	1	36	4	81	64

$$\sum_{i=1}^{20} x_i = 1.001\%; \quad \sum_{i=1}^{20} (\bar{x} - x_i)^2 = 939 \times 10^{-6};$$

$$\bar{x} = 0.050\% \text{ Th}.$$

$$\text{均方误差 } \sigma = \sqrt{\frac{\sum (x_i - \bar{x})^2}{n-1}} = \sqrt{\frac{939 \times 10^{-6}}{19}} = 7 \times 10^{-3}\% \text{ Th};$$

$$\text{相对均方误差 } m = \frac{\sigma}{\bar{x}} = \frac{0.007}{0.050} 100\% = 14\%.$$

3. 当  $U \leq 3\text{Th}$  时，仪器所能达到的灵敏度为  $0.005\% \text{ Th}$ 。该灵敏度可以认为已满足地质对分析的要求。因为：(1) 铀-钍矿石中，品位在  $0.05\% \text{ Th}$  以下者无开采价值<sup>[4]</sup>；(2) 铀-钍矿石中，钍含量低于  $0.005\% \text{ Th}$  时，对采用  $\beta-\gamma$  法测定矿石中的铀，或对  $\gamma$  测井资料的定量解释，钍  $\gamma$  射线的干扰可以不予考虑<sup>[5]</sup>。

### 四、影响因素的讨论

1. 密度实验 对铀-钍不同比例，装填密度为  $1, 1.25, 1.5$  (克/厘米 $^3$ ) 的样品，分别进行多

次测定,平均結果列入表3。

表 3

序 号	測定結果 (%Th)			已知結果 (Th/U)
	1克/厘米 <sup>3</sup>	1.25克/厘米 <sup>3</sup>	1.5克/厘米 <sup>3</sup>	
1	0.010	0.010	0.010	0.009/0.000
2	0.098	0.096	0.095	0.100/0.011
3	0.080	0.078	0.079	0.079/0.041

从表3的数据可以看出:在含量低的时候,看不出随着样品密度的增大自吸收对测量結果的影响;随着含量的增加,密度增大,其测量結果有降低的趋势。实验表明,密度在1—1.5克/厘米<sup>3</sup>范围内变化时,自吸收对测量結果引起的誤差微不足道。

**2. 分析精度** 其分析精度决定于,由第一鉴别閾到第二鉴别閾时,鈾源和鑪源单位含量、单位重量的 $\gamma$ 辐射強度的相对变化。此变化愈大,即  $\frac{c_1}{c_2} \gg \frac{b_1}{b_2}$ , 则分析精度就愈高。

**3. 高压稳定性** 在工作状态中,光电信号管的总放大系数 $M$ 与高压 $V_H$ 的关系是  $M \propto V_H^2$ <sup>[6]</sup>, 因此,对高压稳定性的要求十分苛刻。实验証明,当高压升高时,譜峯沿横坐标向右拉开;当高压降低时,譜峯沿横坐标向左推移(比較图2和图3)。由于譜峯的位移,能导致完全錯誤的分析結果。为此应保証仪器在工作时,高压的波动不可大于 $\pm 0.1\%$ 伏。

**4. UX<sub>1</sub> 的 $\gamma$ 射綫对測量結果的影响** 通过对鉴别閾在54伏( $E_i \approx 238$ 千电子伏)时,鈾系鈾UX<sub>1</sub>和鈾系鑪組RaB单位含量、单位重量 $\gamma$ 辐射強度(除本底外)实际测量数据的計算表明,鈾組 $\gamma$ 辐射強度約占鑪組 $\gamma$ 辐射強度的3%。因此,在这种情况下,可以認為鈾組UX<sub>1</sub>的 $\gamma$ 射綫近于全部被切除。

本文初稿完成后,承蒙朱志祥、芦賢栋、馬占中等同志的校閱,并提出許多宝贵意見,在此一并致謝。

### 参 考 文 献

- [1] 代朝茲,天然瀝過鈾-钍矿样的分析(純 $\gamma$ 譜法的应用),原子能譯丛,第11期,922—930(1961).
- [2] 朱志祥,用脉冲法分析复杂矿石样品中的鈾、鑪、钍含量,原子能科学技术,第6期,444—451(1962).
- [3] А. Л. Якубович, Е. И. Зайцев, Радиометрическое определение клярковых содержаний урана, радия, тория и калия в образцах горных пород, *Разведка и охрана недр*, вып. 2, 33—37 (1961).
- [4] А. А. Якжин, Поиски и разведка урановых месторождений, стр. 18, 1961.
- [5] 苏联地质保矿部 $\gamma$ 测井規程,莫斯科,1957年。
- [6] 中国科学院原子能研究所編,同位素应用实验方法講义,科学出版社,1960。

(編輯部收稿日期 1963年4月17日)

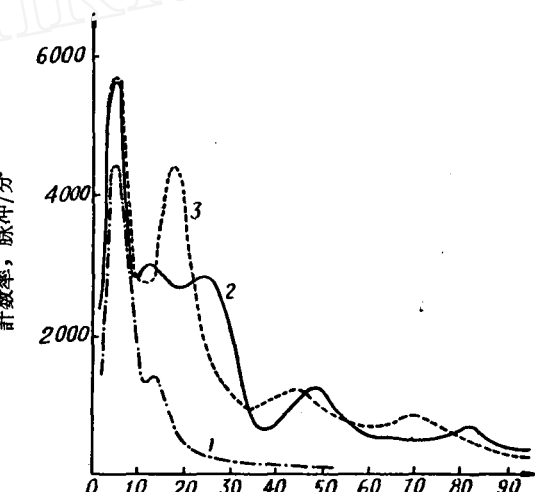


图3 铀鑪和钍的 $\gamma$ 射綫能譜圖

1— $U_3O_8 = 0.300\%$ ; 2— $Ra = 0.110\%U$ ; 3— $Th = 0.200\%$ .  $V_H = 1000$ 伏;  $\Delta = 2$ ;  $y = 300$ .